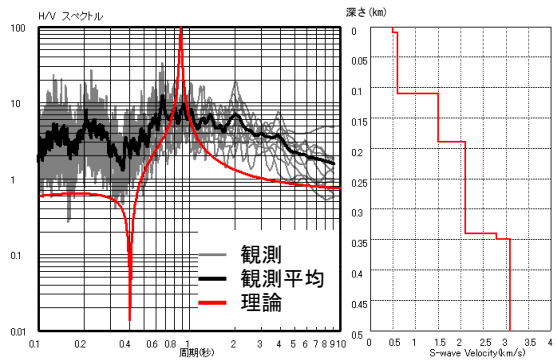
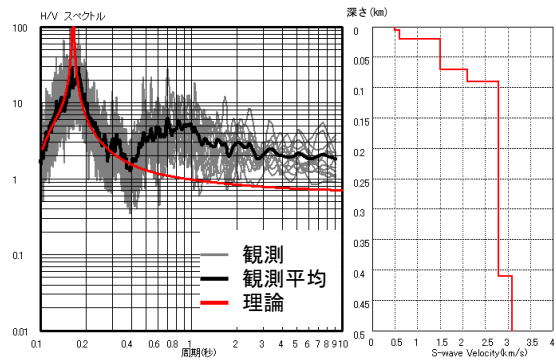


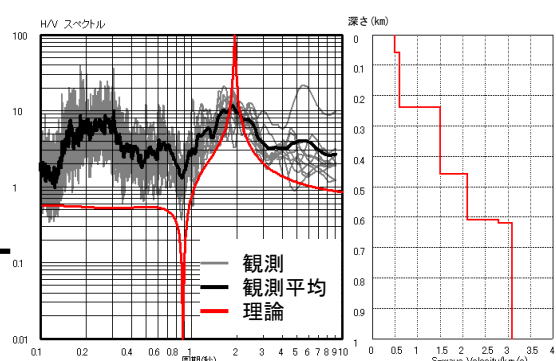
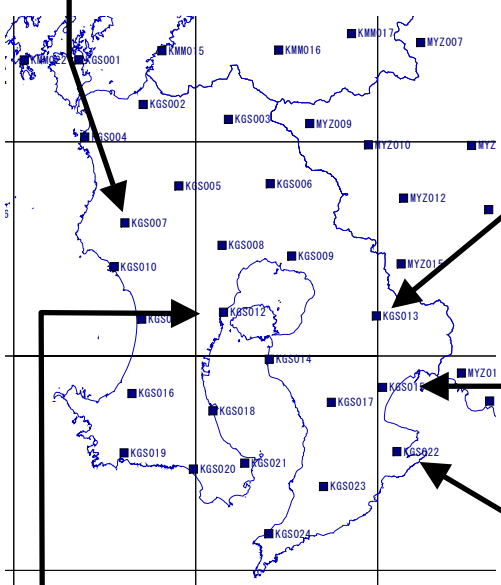
図 18-1 H/Vスペクトル比の比較（観測記録のH/V比（黒）とレイリー波の理論H/V比（赤）との比較、鹿児島県、その1、H/Vスペクトル比の右側に、最終的に得られた観測点直下の一次元地下構造モデルを示す。）



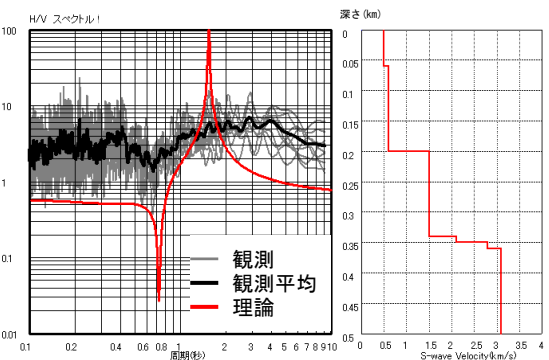
KGS007 (薩摩川内市)



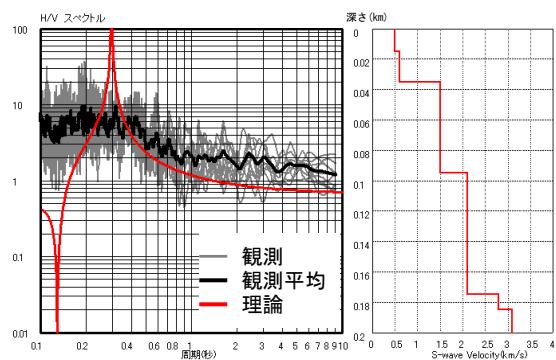
KGS013 (曾於市)



KGS015 (大崎町)

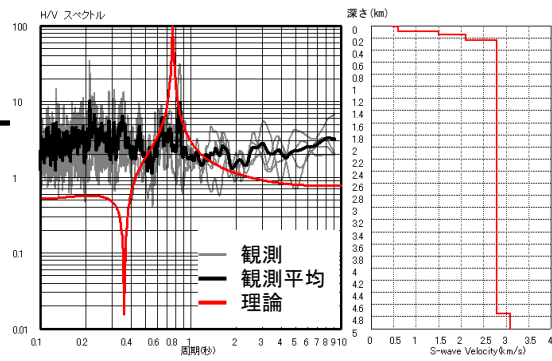
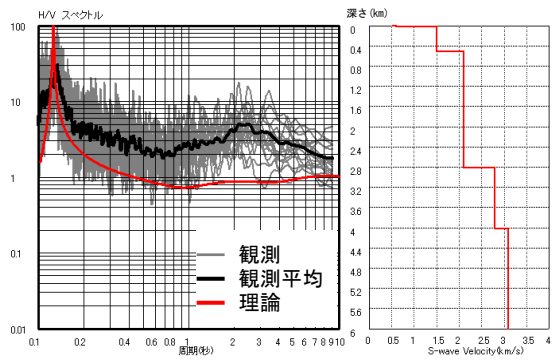
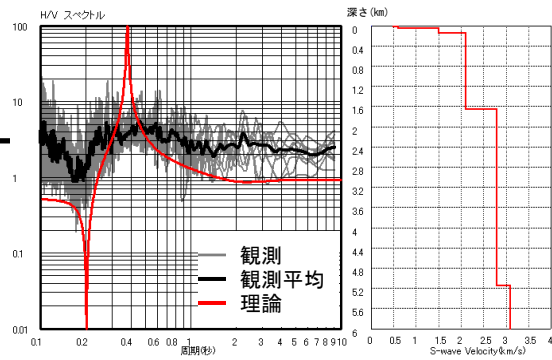
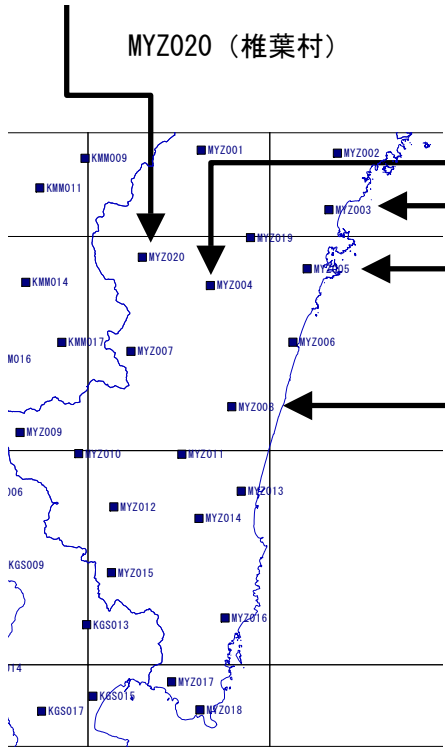
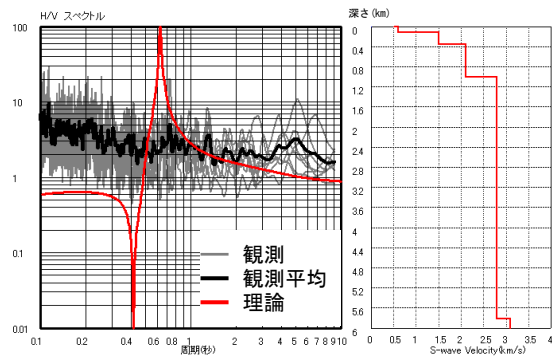
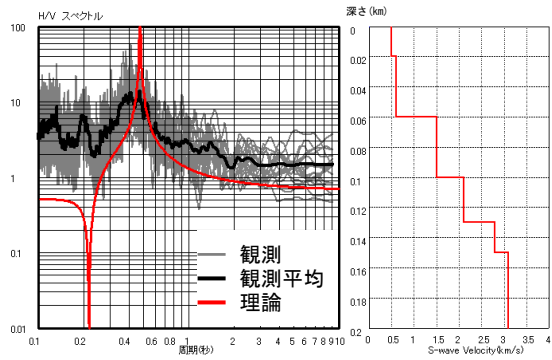


KGS012 (鹿児島市)



KGS022 (肝付町)

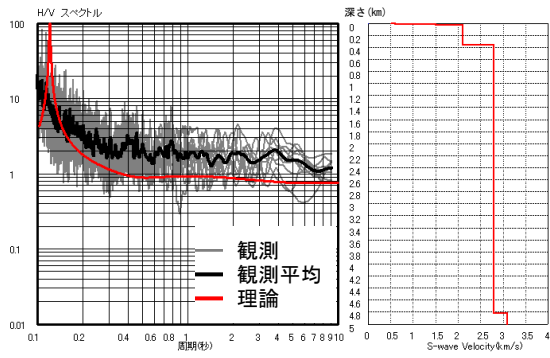
図18-2 H/Vスペクトル比の比較（観測記録のH/V比（黒）とレイリー波の理論H/V比（赤）との比較、鹿児島県、その2、H/Vスペクトル比の右側に、最終的に得られた観測点直下の一次元地下構造モデルを示す。）



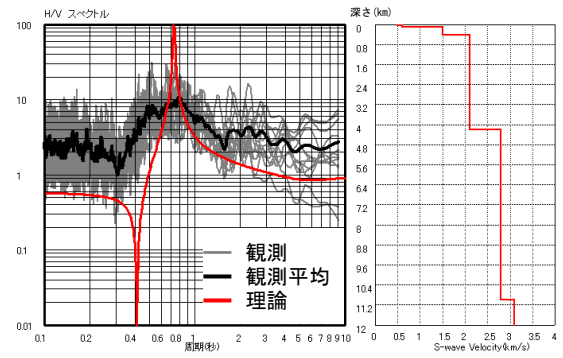
MYZ008 (西都市)

MYZ005 (日向市)

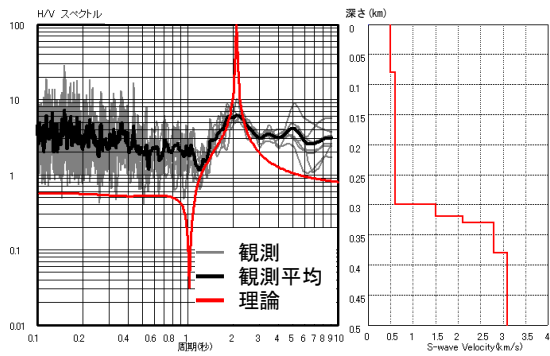
図18-3 H/Vスペクトル比の比較（観測記録のH/V比（黒）とレイリー波の理論H/V比（赤）との比較、宮崎県、その1、H/Vスペクトル比の右側に、最終的に得られた観測点直下の一次元地下構造モデルを示す。）



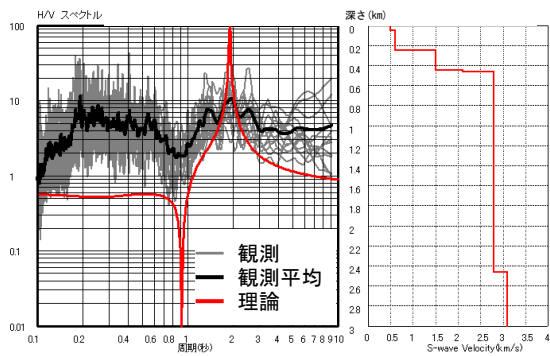
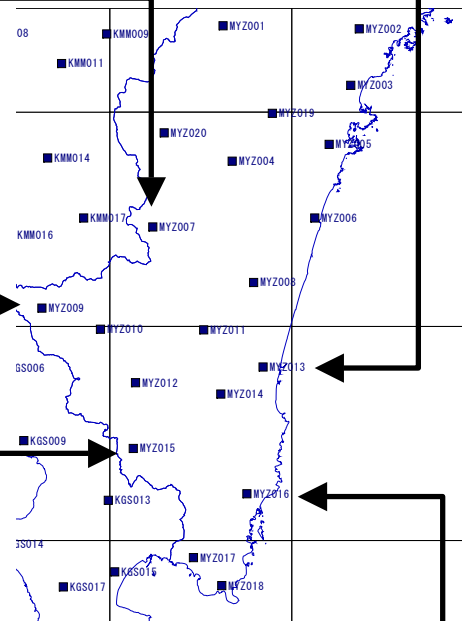
MYZ007 (西米良村)



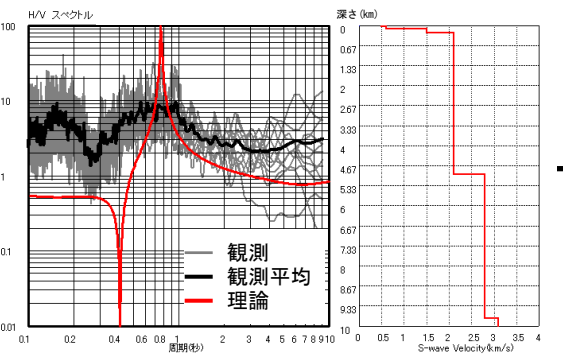
MYZ013 (宮崎市)



MYZ009 (えびの市)



MYZ015 (都城市)



MYZ016 (日南市)

図18-4 H/Vスペクトル比の比較（観測記録のH/V比（黒）とレイリー波の理論H/V比（赤）との比較、宮崎県、その2、H/Vスペクトル比の右側に、最終的に得られた観測点直下の一次元地下構造モデルを示す。）